

## بررسی عددی رفتار تیرهای عمیق بتن مسلح دو سر ساده دارای بازشو

ابوالفضل عربزاده<sup>۱</sup>، محمد جواد ظهره وند<sup>۲</sup>

۱-دانشیار- گروه سازه- دانشگاه تربیت مدرس

۲- دانشجوی کارشناسی ارشد گروه سازه- دانشگاه تربیت مدرس

arabzadeh@modares.ac.ir

تاریخ دریافت: [۱۳۹۱/۱۲/۲۶] تاریخ پذیرش: [۱۳۹۲/۷/۸]

**چکیده**- به طور کلی تیرهای عمیق به عنوان شاه تیرهای حمال و سرپوش شمعها و همچنین در دیوارهای ساختمانهای بلند کاربرد دارند. برای اجرای سرویس‌های اساسی مثل کانالهای هوا، دسترسی به کابل‌های شبکه‌های الکتریکی و کامپیوتسری، تاسیسات مکانیکی و یا رفت و آمد از آتفا به اتاق دیگر، در جان تیرهای عمیق بتن مسلح بازشو طراحی می‌کنند. در این مقاله به بررسی رفتار تیرهای عمیق بتن مسلح دو سر ساده دارای بازشو با استفاده از روش اجزاء محدود پرداخته شده است. برای مدل‌سازی نمونه‌ها از نرم افزار **Abaqus** استفاده شده است. ۲۴ تیر عمیق دارای بازشو مدل و پارامترهای اندازه‌ی بازشو، محل بازشو، چیدمان آرماتور جان بررسی شده است. در تمام این تیرها ارتفاع و ضخامت ثابت و به ترتیب ۵۰۰ mm و ۱۰۰ mm است. بارگذاری تیرها به صورت بار متتمرکز دو نقطه‌ای و متقاضان است. تیرهای دارای بازشوی بزرگتر مقاومت کمتری نشان می‌دهند و محل بازشو تأثیر زیادی روی رفتار و مقاومت نهایی تیرها ندارد. بیشترین تأثیر روی رفتار و بار نهایی با تغییر چیدمان آرماتور جان ایجاد می‌شود که به ترتیب چیدمان مورب، شبکه‌ای، قائم و افقی منجر به افزایش بیشتر بار نهایی می‌شوند. به گونه‌ای که مقاومت چیدمان مورب آرماتور به طور متوسط ۱/۳۷ برابر چیدمان افقی است. همچنین برای شبیه سازی تیرهای عمیق موجود در سازه‌های واقعی ۱۲ تیر عمیق با ارتفاع ۲۰۰۰ mm و دهانه‌ی خالص ۳۵۰۰ mm و ضخامت ۲۲۰ mm مدل شدند. بازشو در این تیرها دارای ابعاد ۳۵۰×۲۰۰ mm است. نتایج تحلیل نشان می‌دهد که برای تیرهای عمیق با این ابعاد نیز به ترتیب چیدمان مورب، شبکه‌ای، قائم و افقی بیشترین تأثیر را در افزایش بار نهایی دارند و محل بازشو در ارتفاع تیر عمیق تأثیر زیادی روی مقاومت نهایی ندارد.

**واژگان کلیدی:** تیر عمیق، بتن مسلح، بازشو، اجزاء محدود، بار نهایی.

### ۱- مقدمه

آین نامه بتن ایران از تیر عمیق با عنوان اعضای خمی با ارتفاع زیاد یا تیر تیغه‌ها نام برده است. طبق این آین نامه ضوابط اعضای خمی با ارتفاع زیاد برای تیرهایی قابل کاربرد است که دارای شرایط زیر است [۱]:

۱- نسبت طول دهانه‌ی آزاد به ارتفاع مؤثر،  $L_n/d$  ،

در آنها کمتر از چهار باشد.

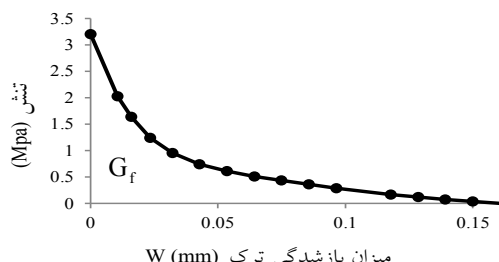
۲- بار روی تیر در وجه فشاری، مقابله وجهی که روی تکیه‌گاه می‌نشیند، وارد آید به گونه‌ای که امکان به وجود آمدن دستکهای فشاری از سمت بار به سمت تکیه‌گاه موجود باشد.  
تیرهای عمیق به عنوان شاه تیرهای حمال<sup>۱</sup> به کار

<sup>۱</sup>. Transfer girders

طبق نتایج رینهاردت بهترین منحنی منطبق بر نتایج آزمایشگاهی برای مقادیر زیر حاصل می‌شود.

$$c_1 = 3, \quad c_2 = 6.93, \quad W_c = 5.14 \frac{G_f}{f_t} \quad (2)$$

که  $G_f$  مقدار انرژی لازم برای شکل‌گیری واحد سطح ترک است، که به عنوان مشخصات مصالح در نظر گرفته می‌شود و برابر مساحت زیر نمودار  $\sigma_n = F(W)$  است.



شکل ۱ نمودار تنش-بازشدگی ترک [۵]

مقدار  $G_f$  برای بتن معمولی (مقاومت فشاری حدود ۲۰ مگاپاسکال) برابر  $400 \text{ N/mm}^2$  و برای بتن با مقاومت بالا (مقاومت فشاری حدود ۴۰ مگاپاسکال) برابر  $1200 \text{ N/mm}^2$  است.

## ۲-۲- رفتار تک محوری بتن در فشار

در این پژوهش برای رفتار فشاری تک محوری بتن از مدل ارایه شده توسط مندر و همکاران [۶] (۱۹۸۴) مطابق روابط ۳ تا ۷ استفاده شده است.

برای بارگذاری یکنوا (مونوتونیک) و نرخ کرنش کم، تنش تک محوری فشاری  $f_c$  به صورت زیر به دست می‌آید:

$$f_c = \frac{f'_{cc} x_r}{r - 1 + x^r} \quad (3)$$

می‌روند که بار را از ستون‌های بالایی گرفته و به ستون‌های تکیه‌گاهی انتقال می‌دهند. این شاه‌تیرها در محل‌هایی که حذف تعدادی ستون لازم است، مثل ورودی پارکینگ‌ها قرار می‌گیرند. [۲ و ۳].

برای اجرای سرویس‌های اساسی مثل کانال‌های هوا، دسترسی به کابل‌های شبکه‌های الکتریکی و کامپیوتري، تاسیسات مکانیکی و یارفت و آمد از اتاقی به اتاق دیگر، در جان تیرهای عمیق بتن مسلح بازشویابی را اجرا می‌کنند. این بازشوها مسیر انتقال نیروهای فشاری از محل اعمال بار به تکیه‌گاه را قطع کرده و باعث به هم ریختگی آن می‌شوند و موجب کاهش شدیدی در مقاومت نهایی تیرهای عمیق می‌شوند [۴].

در این پژوهش به بررسی رفتار تیرهای عمیق دارای بازشو با استفاده از روش اجزاء محدود پرداخته شده است. هدف اصلی عبارتند از: بررسی اثر محل بازشو، اندازه‌ی بازشو، چیدمان آرماتور جان. برای مدلسازی نمونه‌ها از مدل پلاستیک-آسیب نرمافزار Abaqus استفاده شده است، که در ادامه پارامترهای این مدل بررسی می‌شود.

## ۲- مشخصات مصالح

### ۲-۱- رفتار تک محوری بتن در کشش

بتن یک مصالح ناهمگن متنشکل از سنگدانه‌ها و چسب سیمان است که به صورت ذاتی در کشش ضعیف است. مقاومت کششی بتن در محدوده ۸ تا ۱۵ درصد مقاومت فشاری آن است. با کشش تک محوری رابطه تنش-کرنش تا مقاومت کششی خطی الاستیک است. بعد از ترک خوردگی این رابطه غیر خطی می‌شود. در این پژوهش از رابطه‌ی ارایه شده به وسیله‌ی رینهاردت و همکاران (۱۹۸۶) [۵] استفاده شده است.

$$\frac{\sigma_n}{f_t} = \left[ 1 + \left( c_1 \frac{W}{W_c} \right)^3 \right] \exp \left( -c_2 \frac{W}{W_c} \right) - \quad (1)$$

$$\frac{W}{W_c} \left( 1 + c_1^3 \right) \exp(-c_2)$$

اعمال کند.

تغییر سطح تسليم در حین بارگذاری (یا سخت شدگی) به وسیله‌ی دو متغیر  $\tilde{\varepsilon}_c^{pl}$  و  $\tilde{\varepsilon}_t^{pl}$  کنترل می‌شود. این سطح تسليم به صورت عبارت‌های تنش موثر بیان می‌شود:

$$(8) \quad F = \frac{1}{1-\alpha} \left( \bar{q} - 3\alpha \bar{p} + \beta \left( \tilde{\varepsilon}_c^{pl} \right) \left\langle \hat{\bar{\sigma}}_{max} \right\rangle - \gamma \left\langle -\hat{\bar{\sigma}}_{max} \right\rangle \right)$$

$$-\bar{\sigma}_c \left( \tilde{\varepsilon}_c^{pl} \right) = 0$$

$\alpha$  و  $\beta$  و  $\gamma$  ثابت‌های بدون بعد هستند. و همچنین داریم:

(9)

$$\bar{p} = -\frac{1}{3} \text{trace}(\bar{\sigma}), \quad \bar{q} = \sqrt{\frac{3}{2} (\bar{S} : \bar{S})} = \sqrt{3 J_2}$$

$\bar{p}$  فشار هیدرواستاتیک موثر و  $\bar{q}$  تنش موثر معادل می‌ساز است.

$\hat{\bar{\sigma}}_{max}$  مقدار جبری بیشینه‌ی مقدار ویژه (تنش اصلی) تansور  $\bar{\sigma}$  است. تابع  $\beta(\tilde{\varepsilon}_c^{pl})$  به صورت زیر به دست می‌آید:

$$(10) \quad \beta = \frac{\bar{\sigma}_c \left( \tilde{\varepsilon}_c^{pl} \right)}{\bar{\sigma}_t \left( \tilde{\varepsilon}_t^{pl} \right)} (1-\alpha) - (1+\alpha)$$

که  $\bar{\sigma}$  و  $\bar{\sigma}_t$  به ترتیب تنش‌های فشاری و کششی مؤثر هستند. در فشار دو محوری یعنی  $\hat{\bar{\sigma}}_{max} = 0$  معادله‌ی تسليم به شرط تسليم دراکر-پراگر تبدیل می‌شود.

ضریب  $\alpha$  به صورت زیر به دست می‌آید:

$$(11) \quad \alpha = \frac{\sigma_{bo} - \sigma_{co}}{2\sigma_{bo} - \sigma_{co}}$$

مقدار آزمایشگاهی  $\sigma_{bo}/\sigma_{co}$  در محدوده‌ی ۱/۱ تا

$$(4) \quad X = \frac{\varepsilon_c}{\varepsilon_{cc}}$$

$$(5) \quad \varepsilon_{cc} = \varepsilon_{co} \left[ 1 + 5 \left( \frac{f'_{cc}}{f'_{co}} - 1 \right) \right]$$

که  $f_{cc}$  مقاومت فشاری بتن محصور،  $\varepsilon_{cc}$  کرنش بتن و  $f'_{co}$  مقاومت بتن غیر محصور با کرنش مربوطه است.  $\varepsilon_{co}$

$$(6) \quad r = \frac{E_c}{E_c - E_{sec}}$$

$$(7) \quad E_{sec} = \frac{f'_{cc}}{\varepsilon_{cc}}$$

در حالتی که شرایط محصور شدگی نداریم  $f'_{cc} = f'_{co}$  و  $\varepsilon_{cc} = \varepsilon_{co}$  خواهد شد.

### ۳-۲- مدل پلاستیسیته بتن

مدل پلاستیک-آسیب نرم‌افزار Abaqus بر پایه‌ی مدل ارایه شده به وسیله‌ی لوبلینر (1989) [۷] و اصلاح شده به وسیله‌ی لی و فنووس (1998) [۸] قرار دارد. تحت فشار محصور کننده کم بتن رفتار ترد از خود نشان می‌دهد و مکانیزم اصلی گسیختگی در این مدل ترک خوردگی کششی و خردشده‌ی فشاری است. اما وقتی فشار محصور کننده به اندازه‌ای زیاد باشد تا از نفوذ ترک جلوگیری کند، رفتار ترد بتن حذف می‌شود. مدلسازی رفتار بتن تحت فشار هیدرواستاتیک بالا از حیطه‌ی مدل پلاستیک-آسیب نرم‌افزار Abaqus خارج است. در ادامه به شرح این مدل پرداخته می‌شود.

### ۳-۱- شرط تسليم

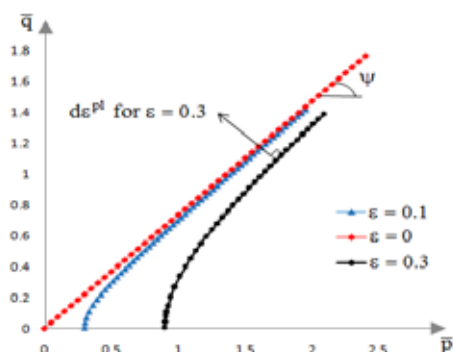
مدل پلاستیک-آسیب بتن در نرم‌افزار Abaqus شرط تسليمی را استفاده می‌کند که به وسیله‌ی لوبلینر و همکاران (1989) [۷] ارایه شد و اصلاحات آن به وسیله‌ی لی و فنووس (1989) [۸] انجام شد تا تکامل‌های متفاوت مقاومت در فشار و کشش را

### ۲-۳-۲- جریان پلاستیک

مدل پلاستیک-آسیب نرم افزار Abaqus از قانون جریان غیروابسته استفاده می کند، تا اتساع (افزایش حجم) را کنترل کند.تابع پتانسیل جریان پلاستیک، تابع هذلولی دراکر-پراگر است. معادله این تابع به صورت زیر است:

$$G = \sqrt{(\epsilon \sigma_{t_0} \tan \psi)^2 + \bar{q}^2} - \bar{p} \tan \psi = 0 \quad (13)$$

با توجه به شکل ۳ این تابع را تعریف می کنیم.



شکل ۳ تابع پتانسیل برای خروج از مرکزیت‌های متفاوت

$\psi$  زاویه اتساع است که در صفحه  $\bar{q} - \bar{p}$  در فشار محصور کننده بالا اندازه گیری می شود. در واقع مجانب این هذلولی تابع خطی دراکر-پراگر است. و  $\psi = \tan \psi$  شیب این مجانب است. هر چه این شیب بیشتر باشد در فشار محصور کننده بالا اتساع بیشتری داریم.

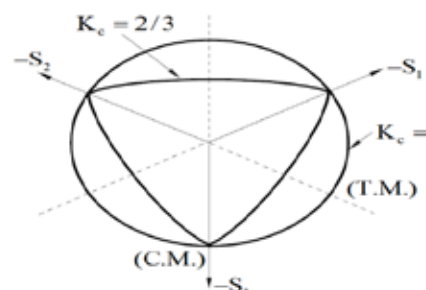
$\epsilon$  خروج از مرکزیت نام دارد و نرخی را تعریف می کند که تابع به مجانب نزدیک می شود. وقتی  $\epsilon = 0$  است تابع هذلولی به تابع خطی تبدیل می شود. مقدار پیش فرض خروج از مرکزیت  $0/1$  است و با این مقدار در محدوده وسیعی از مقادیر فشار محصور کننده مقدار زاویه اتساع تقریبا ثابت است. مقدار  $\epsilon$  بسیار کمتر از پیش فرض، در فشار هیدرولاستاتیک کم منجر به مسئله همگرایی می شود. چون این مقدار در تابع پتانسیل در محل

۱/۱۶ قرار دارد. بنابراین  $\alpha$  بین  $0/0/8$  تا  $0/1/2$  قرار خواهد گرفت. که  $\sigma_{b0}$  تنش تسليم فشاری دو محوری و  $\sigma_{c0}$  تنش تسليم فشاری تک محوری است. ضریب  $\gamma$  فقط در فشار سه محوری وارد تابع تسليم می شود، یعنی در حالت تنشی که  $\hat{\sigma}_{max} < 0$ . این ضریب بهوسیله مقایسه شرایط تسليم در نصفالنهارهای فشاری و کششی تعیین می شود. نصفالنهار کششی (TM) به عنوان حالت‌هایی از تنش که شرط  $\hat{\sigma}_1 > \hat{\sigma}_2 = \hat{\sigma}_{max}$  را ارضاء می کنند و نصفالنهار فشاری (CM) به عنوان حالت‌هایی از تنش که شرط  $\hat{\sigma}_1 = \hat{\sigma}_2 > \hat{\sigma}_3 = \hat{\sigma}_{max}$  را ارضاء می کنند، تعریف می شوند.  $\hat{\sigma}_1$  و  $\hat{\sigma}_2$  و  $\hat{\sigma}_3$  مقادیر ویژه (تشهای اصلی) تانسور تنش موثر هستند. اگر برای هر مقدار فشار هیدرولاستاتیک

$$\hat{\sigma}_{max} = \frac{\bar{q}_{(TM)}}{\bar{q}_{(CM)}}, \text{ با شرط } 0 < \bar{p} \text{ تعریف کنیم} \quad (12)$$

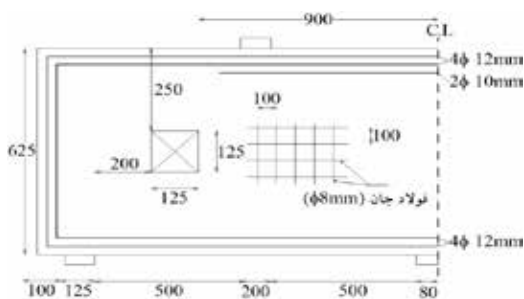
$$K_c = \frac{\gamma + 3}{2\gamma + 3}$$

که یک مقدار ثابت و مطابق با نتایج آزمایشگاهی لوبلینر است. بنابراین نصفالنهارها به شکل خط راست هستند. بر خلاف ادعای اوتوسن [۸] که می گوید  $K_c$  از  $0/5$  در فشار هیدرولاستاتیک کم افزایش می یابد و در فشار هیدرولاستاتیک بالا همواره کمتر از  $1$  می ماند، بسیاری از اطلاعات آزمایشگاهی با خط مستقیم بهتر هم خوانی دارند [۸]. شکل ۲ سطح تسليم به کار رفته در نرم افزار Abaqus را در صفحه ای انحراف آور نشان می دهد.

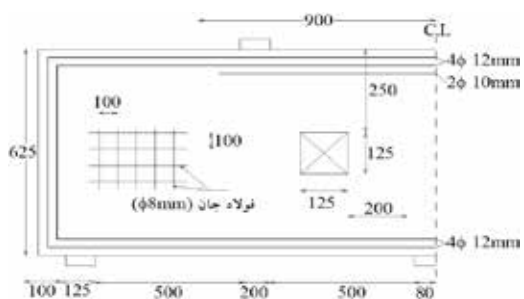


شکل ۲ سطح تسليم در صفحه ای انحراف آور [۹]

پس در این قسمت دو تیر عمیق پیوسته دارای بازشو از مجموعه تیرهایی که به وسیله‌ی ریشی و آشور آزمایش شدند [۱۳]، مدل شدند. و مود شکست و نمودار بار-تغییر مکان با نتایج آزمایشگاهی مقایسه شد. هندسه‌ی این تیرها در شکل ۵ و ۶ نشان داده شده است (تمام ابعاد به میلی‌متر است). مشخصات فولاد این تیرها در جدول ۱ و مشخصات بتون در جدول ۲ بنابر مرجع [۱۳] آمده است.



شکل ۵ هندسه‌ی تیر AES [۱۳]



شکل ۶ هندسه‌ی تیر AIS [۱۳]

جدول ۱ مشخصات بتون تیرهای عمیق پیوسته

Beam N.	$f_{cu}$ (N / mm <sup>2</sup> )	$f'_c$ (N / mm <sup>2</sup> )	$f_r$ (N / mm <sup>2</sup> )
AES	۳۳,۱	۲۶,۵	۳,۴
AIS	۲۶	۲۰,۸	۳,۵

تقاطع محور  $\bar{p}$ ، ایجاد انحنای محلی زیاد می‌کند. همچنین پیوسته و هموار بودن این تابع، اطمینان می‌دهد که جهت جریان پلاستیک همواره به صورت یکتا تعریف می‌شود [۱۰، ۱۱، ۱۲].

### ۳- مشخصات مصالح فولادی

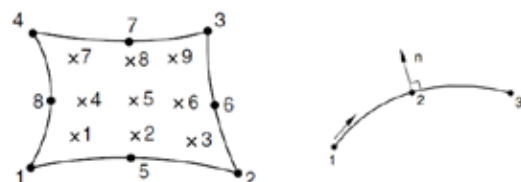
آرماتور فولادی به وسیله‌ی مدل پلاستیکی کلاسیک فلزات موجود در Abaqus شبیه سازی شده است.

مشخصات اصلی این مدل عبارتند از:

- ۱- به کارگیری ضابطه‌ی تسليم فن میز.
- ۲- رفتار پلاستیک کامل، سخت شدگی ایزوتروپ یا سخت شدگی کینماتیک.
- ۳- قانون جریان وابسته با استفاده از شرط تسليم فن میز.

### ۴- مشخصات اجزاء محدود

در این پژوهش برای مدلسازی بتون از المان گرهی دو بعدی تنش مسطح که دارای ۹ نقطه انتگرال گیری است استفاده شده است. برای فولاد از المان خرپای یک بعدی سه گرهی استفاده شده است. این المان فقط نیروی محوری را انتقال می‌دهد. لازم به توضیح است که در مدلسازی اندرکنش بین فولاد و بتون از لغزش آرماتور در بتون چشم‌پوشی شده است.



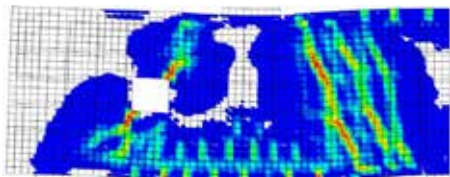
الف) المان خرپا دو بعدی      ب) المان دو بعدی تنش مسطح

شکل ۴ المان‌های اجزاء محدود

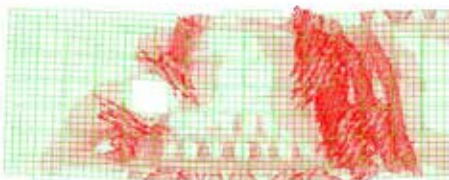
### ۵- تایید درستی مدلسازی

قبل از ساخت مدل‌های اصلی و تحلیل آنها به وسیله‌ی نرم‌افزار لازم است که از درستی مدلسازی و فرضیات در نظر گرفته شده اطمینان حاصل کرد.

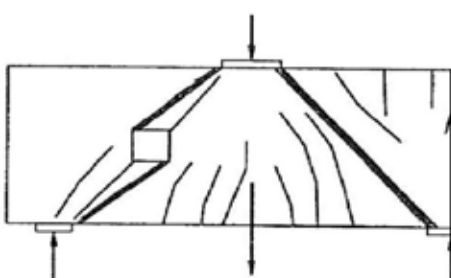
محدوده پلاستیک شده است و بتن در آنجا ترک خورده است. همان‌گونه که مشاهده می‌شود از نظر مود شکست و نمودار رفتاری انطباق خوبی با نتایج آزمایشگاهی وجود دارد.



(الف) آسیب دیدگی کششی (خروجی نرم‌افزار)



(ب) کرنش پلاستیک بیشینه (خروجی نرم‌افزار)



(ج) مود شکست تیر در آزمایشگاه [۱۳]

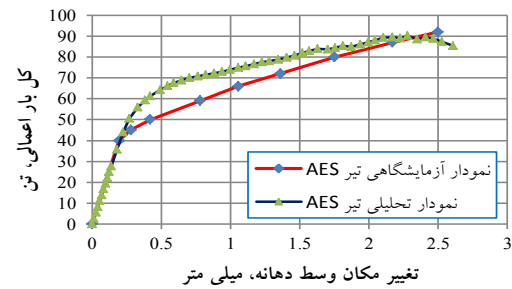
شکل ۹ مود شکست تیر AES

**۶- مدل‌های المان محدود**  
در این مقاله رفتار تیرهای عمیق دارای بازشو بررسی شده است. تیرها در دو گروه با ابعاد مختلف مدل شدند. گروه اول دارای ارتفاع ۷۵۰ mm و دهانه خالص ۱۵۰۰ mm و گروه دوم دارای ارتفاع ۲۰۰۰ mm و دهانه خالص ۳۵۰۰ mm هستند.

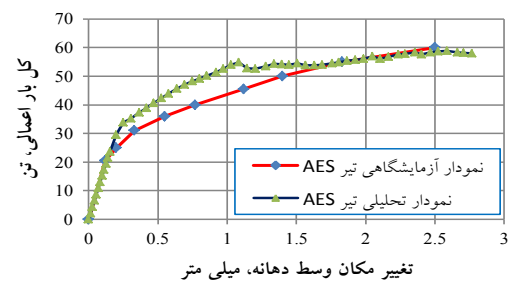
جدول ۲ مشخصات میل‌گرد تیرهای عمیق پیوسته

نام تیر	آرماتور طولی اصلی		آرماتور جان	
	پایین	بالا	افقی	عمودی
	$f_y$ (N/mm <sup>2</sup> )	$f_y$ (N/mm <sup>2</sup> )	$f_y$ (N/mm <sup>2</sup> )	$f_y$ (N/mm <sup>2</sup> )
AES	۵۱۰	۵۹۰	۴۰۰	۴۰۰
AIS				

در اشکال ۷ و ۸ نمودارهای بار-تغییر مکان این دو تیر نشان داده شده است.

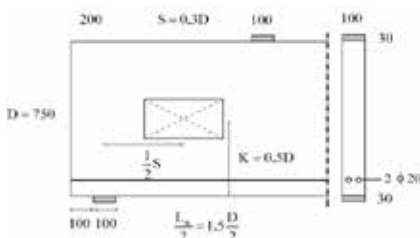


شکل ۷ نمودار بار-تغییر مکان تیر AES

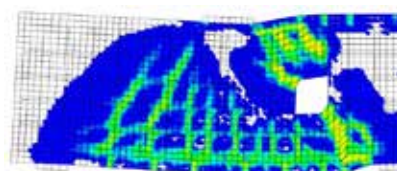


شکل ۸ نمودار بار-تغییر مکان تیر AIS

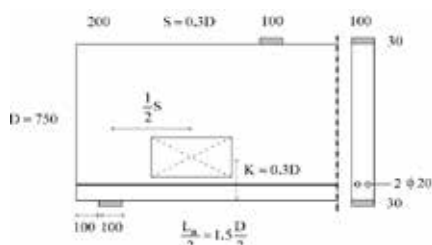
در شکل ۹ مود شکست تیر AES و در شکل ۱۰ مود شکست تیر AIS نشان داده شده است. در این شکل‌ها جهت عمود بر بردارهای کرنش پلاستیک بیشینه نشان دهنده جهت ترک خوردگی است. و آسیب دیدگی کششی نیز نواحی رانشان می‌دهد که کرنش کششی بتن از حد الاستیک گذشته و وارد



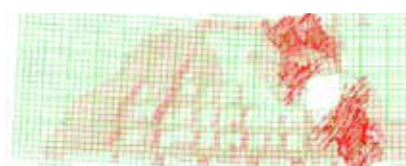
(الف) محل بازشو در مرکز



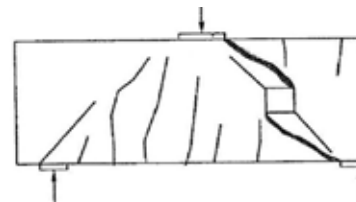
(الف) آسیب دیدگی کششی (خروچی نرم افزار)



(الف) محل بازشو در پایین



(ب) کرنش پلاستیک بیشینه (خروچی نرم افزار)



(ج) مود شکست تیر در آزمایشگاه [۱۳]

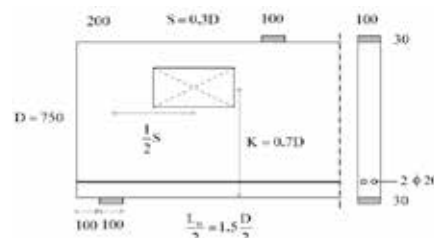
شکل ۱۰ مود شکست تیر AIS

در تیرهای مدل شده دو نوع بازشو از نظر اندازه مورد استفاده قرار گرفته است. بازشوی کوچک طول ۲۲۵ mm و ارتفاع ۱۵۰ mm و بازشوی بزرگ طول ۳۵۰ mm و ارتفاع ۱۹۰ mm دارد. مقدار و آرایش آرماتورهای طولی اصلی همهٔ تیرها یکسان است و از نظر آرایش و مقدار آرماتور جان به چهار گروه ۱، ۲، ۳ و ۴ تقسیم شده‌اند. گروه ۱ چیدمان افقی، گروه ۲ چیدمان قائم، گروه ۳ چیدمان شبکه و گروه ۴ چیدمان مورب است. بنابراین اسم گذاری مدل‌های المان محدود متشکل از ۲۴ تیر عمیق است. ارتفاع و ضخامت تمام تیرها یکسان و به ترتیب ۷۵۰ mm و ۱۰۰ mm است. هندسه کلی این تیرها در شکل ۱۱ نشان داده شده است. پارامتر K محل بازشو در ارتفاع ۱۱۰ mm نشان می‌دهد. تمام تیرهای دارای فولاد خمی اصلی ۲۰ φ و فولاد جان ۱۰ φ است.

## ۶-۱-۱-۱-۱- تیرهای عمیق دارای بازشو گروه اول

### ۶-۱-۱-۱- هندسه‌ی مدل‌های المان محدود

در این بخش مدل‌های المان محدود متشکل از ۲۴ تیر عمیق است. ارتفاع و ضخامت تمام تیرها یکسان و به ترتیب ۷۵۰ mm و ۱۰۰ mm است. هندسه کلی این تیرها در شکل ۱۱ نشان داده شده است. پارامتر K محل بازشو در ارتفاع ۱۱۰ mm نشان می‌دهد. تمام تیرهای دارای فولاد خمی اصلی ۲۰ φ و فولاد جان ۱۰ φ است.



(الف) محل بازشو در بالا

در تمام تیرها مقاومت فشاری بتن  $36/8$  مگاپاسکال و مدول الاستیسیته بتن  $28511/6$  مگاپاسکال و مقاومت کششی  $3/94$  مگاپاسکال است. و تمام آرماتورها تنفس

### ۶-۲-۱-۶- مشخصات مصالح

در تمام تیرها مقاومت فشاری بتن  $36/8$  مگاپاسکال و مدول الاستیسیته بتن  $28511/6$  مگاپاسکال و مقاومت کششی  $3/94$  مگاپاسکال است. و تمام آرماتورها تنفس

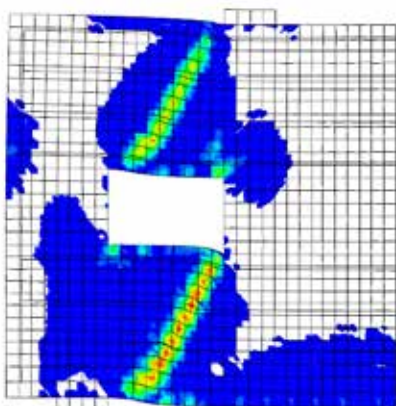
**۲-۳-۱-۶- مود شکست**

تسلیم ۴۳۰ مگاپاسکال و مدول الاستیسیته ۲۰۰۰۰۰ مگاپاسکال دارد.

دو مود گسیختگی در تحلیل های گروه اول مشاهده شد:

- ۱- گسیختگی ناشی از ترک های قطری جان.
- ۲- لهیدگی.

در بیشتر مدل ها گسیختگی ناشی از ترک های قطری جان است که در بالا و پایین بازشو شکل می گیرند، که گوشهای بازشو را به تکیه گاه یا محل اعمال بار وصل می کنند. در شکل ۱۴ پارامتر آسیب دیدگی کششی برای تیر ۳-S-M نشان داده شده است. همان گونه که می بینیم دو ترک قطری اصلی گوشهای بازشو را به محل تکیه گاه و محل اعمال بار وصل کرده اند و در آخر منجر به شکست شده اند. بنابراین همان گونه که در بخش ۴-۳-۱-۶ روی نمودارها نشان داده خواهد شد رفتار تیرهایی که فقط آرماتور افقی دارند ترد و مقاومت نهایی آنها کم است. اما با تغییر نوع آرماتور از پیشروی این ترک های قطری جلوگیری شده و فرایند ترک خوردگی در محل های دیگری شروع می شود و رفتار تیر نرم تر و مقاومت نهایی بیشتر می شود. در شکل ۱۵ مود شکست تیر ۳-S-M نشان داده شده است. که این تیر دارای آرماتور نوع ۳ یعنی آرماتور شبکه ای است.



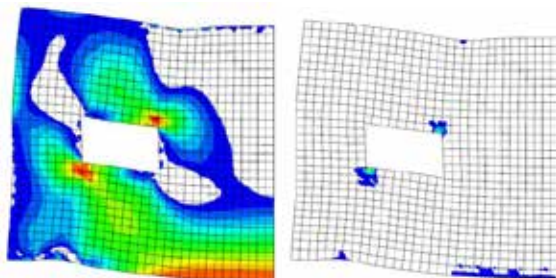
شکل ۱۴ مود شکست تیر ۳-S-M نشان داده شده به وسیله آسیب دیدگی کششی

**۶-۳-۱- نتایج**

در این قسمت نتایج تحلیل مدل ها به وسیله نرم افزار آورده شده است و سعی بر توضیح و تفسیر آنها خواهد بود. مواردی که بررسی خواهند شد عبارتند از: اولین ترک خوردگی، مود شکست تیرها، مقایسه بارهای گسیختگی و نمودارهای بار تغییر مکان.

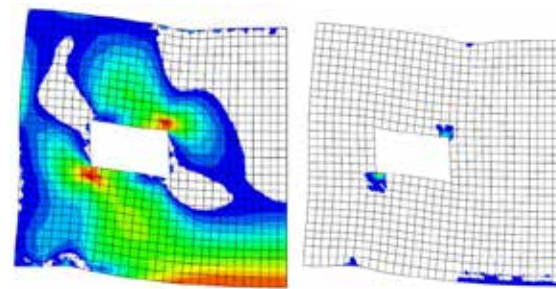
**۶-۱-۳-۱- اولین ترک خوردگی**

در تمامی تیرها اولین ترک ها در گوشه های بازشو ایجاد شدند. اولین ترک خوردگی در تیر ۳-S-M در شکل ۱۲ نشان داده شده است. هم زمان با گسترش این ترک ها، ترک های خمی در وسط دهانه ایجاد شدند. در شکل ۱۳ شکل گیری ترک های خمی این تیر نشان داده شده است.



الف) کانتور تنش کششی      ب) آسیب دیدگی کششی

شکل ۱۲ اولین ترک خوردگی در تیر ۳-S-M

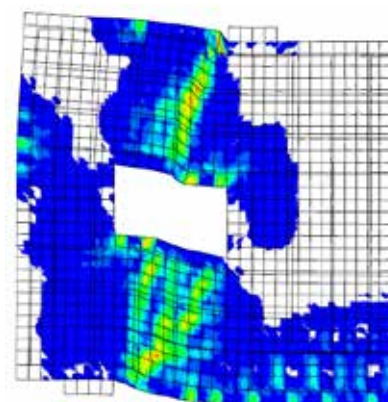


الف) کانتور تنش کششی      ب) آسیب دیدگی کششی

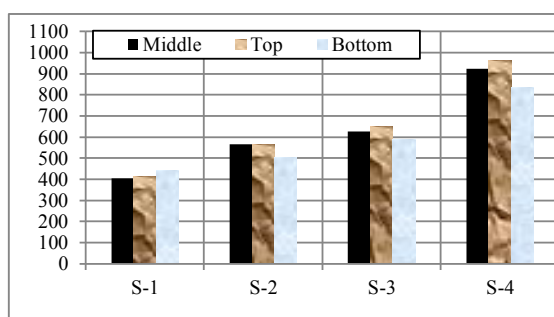
شکل ۱۳ ایجاد اولین ترک های خمی در تیر ۳-S-M

### ۶-۳-۳- مقایسه بارهای گسیختگی

در شکل ۱۷ و ۱۸ تاثیر محل بازشو روی مقاومت نهایی بررسی شده است. همان‌گونه که دیده می‌شود محل بازشو تاثیر زیادی روی مقاومت نهایی ندارد. در حالت بازشوی کوچک بیشترین اختلاف  $13\%$  و کمترین اختلاف  $0.3\%$  است و در حالت بازشوی بزرگ بیشترین اختلاف  $26\%$  و کمترین اختلاف  $0.3\%$  است. ولی در کل نمی‌توان قانون خاصی برای تغییر مقاومت با تغییر محل بازشو در نظر گرفت.

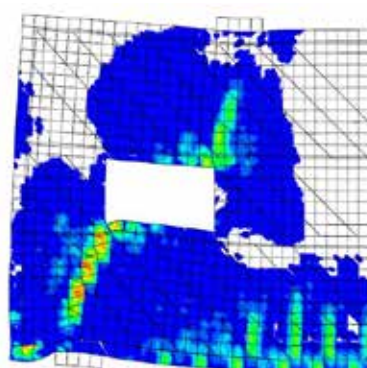


شکل ۱۵ مود شکست تیر ۳-S-M

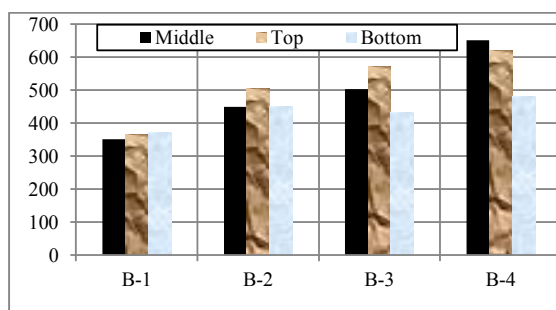


شکل ۱۷ تاثیر محل بازشو روی مقاومت تیرهای با بازشوی کوچک

در شکل ۱۶ یک نمونه لهیدگی محل تکیه‌گاه نشان داده شده است.

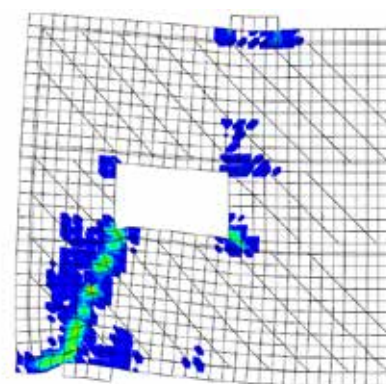


الف) آسیب دیدگی کششی



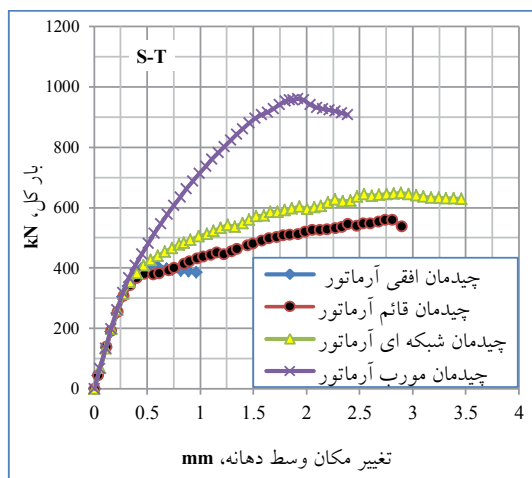
شکل ۱۸ تاثیر محل بازشو روی مقاومت تیرهای با بازشوی بزرگ

با مراجعه به شکل ۱۹ می‌توان اثر چیدمان آرماتور جان و اثر اندازه‌ی بازشو را دید. با افزایش اندازه‌ی بازشو ظرفیت تمام تیرها کاهش یافته است. که این کاهش بیشینه  $42\%$  و کمینه  $10\%$  است. چیدمان آرماتور تاثیر زیادی روی مقاومت نهایی دارد. که به ترتیب چیدمان افقی، قائم، شبکه و مورب باعث بیشترین افزایش در مقاومت نهایی می‌شوند.



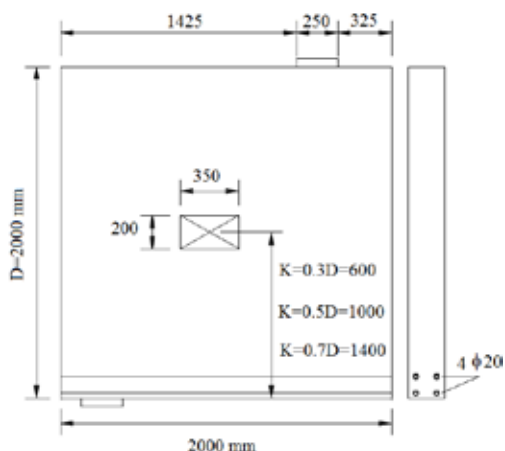
ب) آسیب دیدگی فشاری (خردشگی بتن)

شکل ۱۶ مود شکست تیر ۳-S-M

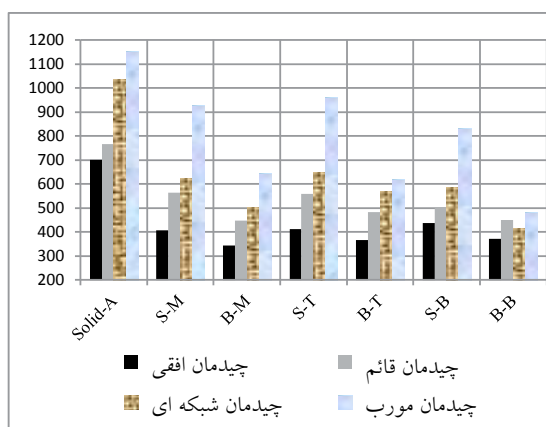


شکل ۲۱ نمودار بار-تغییر مکان تیرهای گروه S-T

K نشان دهنده محل بازشو است. مقدار و آرایش آرماتورهای طولی اصلی همه تیرها یکسان است و از نظر آرایش و مقدار آرماتور جان به چهار گروه ۱، ۲، ۳ و ۴ تقسیم شده‌اند. گروه ۱ چیدمان افقی، گروه ۲ چیدمان قائم، گروه ۳ چیدمان شبکه‌ای و گروه ۴ چیدمان مورب است. بنابراین اسم گذاری مدل‌های المان محدود مشتمل از دو قسمت خواهد بود. بخش اول نشان دهنده محل بازشو در ارتفاع تیر عمیق است (T برای بالا، M برای وسط و B برای پایین) و در قسمت دوم نشانگر نوع چیدمان آرماتور جان است (۱، ۲، ۳ و ۴). تمام تیرهای دارای فولاد خمی اصلی ۳۴ و فولاد جان ۱۸ هستند. با انتخاب این مقادیر درصد فولاد نسبی در تیرهای عمیق با ابعاد کوچک و بزرگ برابر می‌شود.



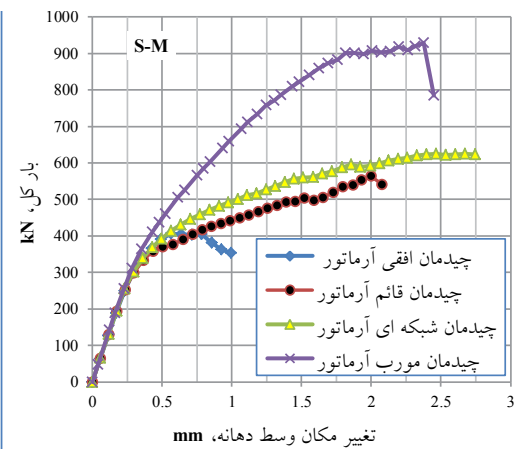
شکل ۲۲ هندسه‌ی تیرهای عمیق بتن مسلح با ابعاد بزرگ دارای بازشو



شکل ۱۹ مقایسه تاثیر چیدمان آرماتور روی مقاومت نهایی

#### ۶-۱-۳-۴- رفتار بار تغییر مکان

چند نمودار بار تغییر مکان برای نمونه در اشکال ۲۰ و ۲۱ آمده است. همان‌گونه که دیده می‌شود نوع چیدمان آرماتور جان تاثیر زیادی روی شکل پذیری و مقاومت این تیرها دارد.



شکل ۲۰ نمودار بار-تغییر مکان تیرهای گروه S-M

#### ۶-۲- تیرهای عمیق دارای بازشو گروه دوم ۶-۱-۲- هندسه‌ی مدل‌های المان محدود

برای شبیه سازی تیرهای عمیق موجود در سازه‌های واقعی ۱۲ تیر عمیق بزرگ با ارتفاع ۲۰۰۰ mm و دهانه‌ی خالص ۳۵۰۰ mm و ضخامت ۲۲۰ mm مدل شدند. هندسه‌ی کلی این تیرها در شکل ۲۲ نشان داده شده است. در این قسمت نیز بازشو در سه محل بالا، پایین و وسط تعییه شده است. پارامتر

**۶-۲-۶- مشخصات مصالح**

مشخصات مصالح بتنی و فولادی تیرهای این بخش مانند تیرهای بخش قبل که دارای ابعاد کوچک بودند، است. یعنی مقاومت فشاری بتن  $28511/6$  مگاپاسکال و مدول الاستیسیته بتن  $3/94$  مگاپاسکال و مقاومت کششی  $430$  مگاپاسکال است. و تمام آرماتورها تنفس تسليم  $430$  مگاپاسکال و مدول الاستیسیته  $200000$  مگاپاسکال دارند.

**۶-۳- بررسی نتایج**

در این بخش مود شکست تیرها، بارهای گسیختگی و نمودار رفتاری بار-تغییر مکان تیرها بررسی خواهد شد.

**۶-۲-۱- مود شکست تیرهای با گروه دوم**

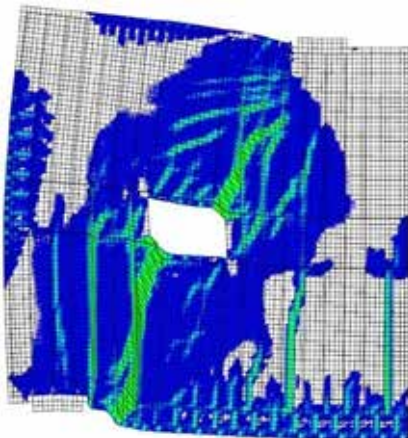
سه مود گسیختگی در تحلیل های گروه دوم مشاهده شد :

- ۱- گسیختگی ناشی از ترک های قطری جان.
- ۲- لهیدگی.
- ۳- شکست خمشی.

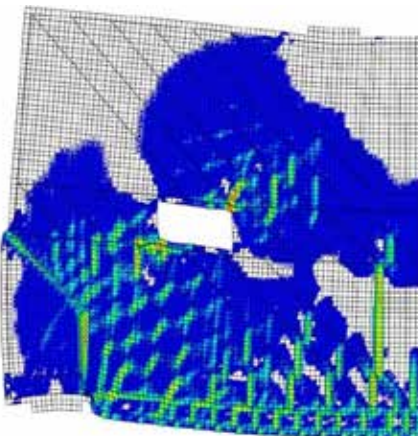
همان گونه که در شکل های  $23$  و  $24$  دیده می شود مود شکست برشی و لهیدگی این تیرها مانند تیرهای گروه اول با ابعاد کوچک است. اما در این تیرها مود گسیختگی خمشی نیز ایجاد می شود. علت این نوع از شکست این است که نسبت دهانه برش به عمق در این تیرها بیشتر از تیرهای گروه اول است. در تیرهای گروه اول این نسبت  $0/43$  و در تیرهای گروه دوم  $0/65$  است. لذا لنگر خمشی در وسط دهانه ای این تیرها بیشتر است. در حالت چیدمان مورب آرماتورها که ظرفیت برشی تیر بسیار بالا است دو مود گسیختگی لهیدگی  $25$  تکیه گاه و شکست خمشی رخ می دهد. در شکل  $25$  یک نمونه از شکست خمشی تیرهای عمیق با ابعاد بزرگ دارای بازشو نشان داده شده است.

**۶-۲-۳- مقایسه بارهای گسیختگی**

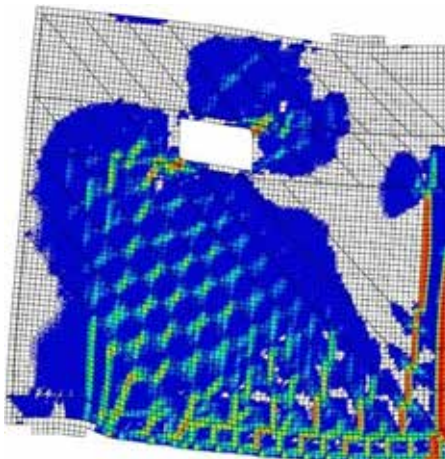
در شکل  $26$  تاثیر محل بازشو روی مقاومت نهایی بررسی شده است. همان گونه که دیده می شود مانند تیرهای عمیق با ابعاد کوچک محل بازشو تاثیر زیادی روی مقاومت نهایی ندارد. بیشترین اختلاف  $7/3\%$  و کمترین اختلاف  $47\%$  است.



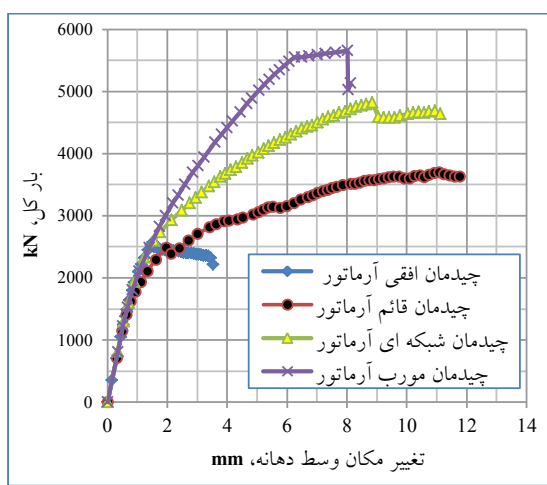
شکل ۲۳ مود شکست برشی در تیر عمیق با آرماتور قائم



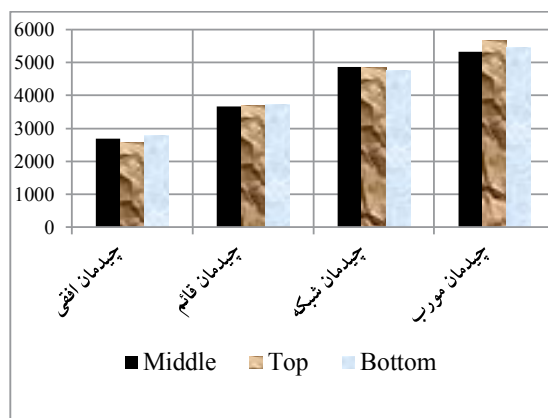
شکل ۲۴ لهیدگی تکیه گاه در تیر عمیق با آرماتور مورب



شکل ۲۵ شکست خمشی در تیر عمیق با آرماتور مورب

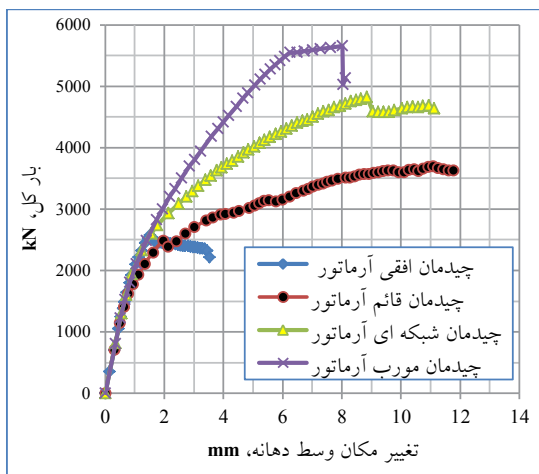


شکل ۲۸ نمودار بار-تغییر مکان برای حالت بازشو در وسط



شکل ۲۶ تاثیر محل بازشو روی مقاومت تیرهای با ابعاد بزرگ

با مراجعه به شکل ۲۷ می‌توان اثر چیدمان آرماتور جان را دید. چیدمان آرماتور تاثیر زیادی روی مقاومت نهایی و شکل پذیری دارد. به ترتیب چیدمان افقی، قائم، شبکه و مورب باعث بیشترین افزایش در مقاومت نهایی می‌شوند. که این نتیجه در حالت تیرهای عمیق با ابعاد کوچک نیز گرفته شد.

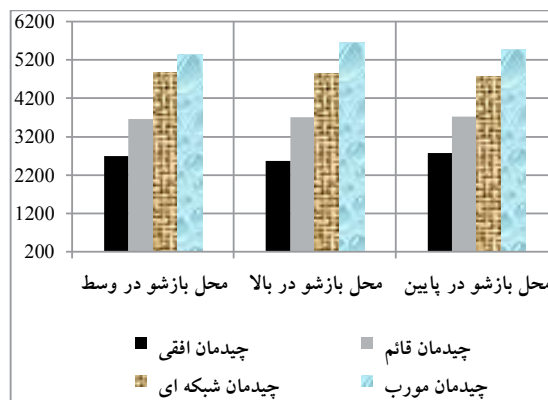


شکل ۲۹ نمودار بار-تغییر مکان برای حالت بازشو در بالا

## ۷- نتیجه‌گیری

از مدلسازی‌ها و تحلیلهای انجام شده نتایج کلی زیر حاصل شد:

- ۱- اولین ترک‌ها در تمامی تیرهای در گوش‌های بازشو رخ می‌دهند و با ادامه بارگذاری به طرف محل اعمال بار و تکیه‌گاه‌ها گسترش پیدا می‌کند.
- ۲- دو مود گسیختگی در تحلیلهای گروه اول که ارتفاع ۷۵۰ mm و دهانه‌ی خالص ۱۵۰۰ mm داشتند، مشاهده شد: گسیختگی ناشی از ترک‌های قطری جان و لهیگی.
- ۳- سه مود گسیختگی در تحلیلهای گروه دوم که



شکل ۲۷ مقایسه تاثیر چیدمان آرماتور روی مقاومت نهایی تیرهای با ابعاد بزرگ ]

## ۶-۲-۳-۳-۳- رفتار بار تغییر مکان

در اشکال ۲۸ و ۲۹ دو نمونه نمودار بار-تغییر مکان آورده شده است. همان‌گونه که دیده می‌شود چیدمان افقی مقاومت و شکل پذیری کمی دارد. که با تغییر چیدمان به حالت قائم، شبکه‌ای یا مورب این شکل پذیری و مقاومت کم برطرف شده است.

- [۳] عربزاده، ابوالفضل؛ غلامی، مصطفی؛ «تحلیل غیر خطی تیرهای عمیق بتن مسلح دو سر ساده»؛ مجله عمران مدرس، ۱۳۸۶، شماره ۲۹، صفحه ۹-۱.
- [۴] K. H. Tan, K. Tong and C. Y. Tang, "Consistent Strut-and-Tie Modeling of Deep Beams with Web Opening", Magazine of Concrete Research, 2003, Vol55, No.1.
- [۵] Zihai, Shi, 2009, "Crack Analysis in Structural Concrete", Elsevier Ltd.
- [۶] J. B. Mander, et al. "Theoretical Stress-Strain Model For Confined Concrete", Journal of Structural Engineering, Vol114, No8, August 1988.
- [۷] J. Lubliner, "A Plastic-Damage Model For Concrete". Int. J. Solid Structures, Vol25. No3. PP 299-326, 1989.
- [۸] J. Lee, G. L. Fenves, "Plastic-Damage model for cyclic loading of concrete structures", Journal of engineering mechanics, vol. 124, No. 8, August 1998, P. 892-900.
- [۹] ABAQUS Analysis user's manual, version 6.9.1.
- [۱۰] Shailendra, K and Sudhirkumar, V. B, "Concrete Fracture Models and Applications", Springer-Verlag Berlin, 2011.
- [۱۱] S. K. Jain, "Introduction Theories of Plasticity", 1989. Printed by Blacksburg, Virginia.
- [۱۲] W. F. Chen and D. J. Han, "Plasticity For Structural Engineers", Springer-Verlag New York Inc, 1988.
- [۱۳] Ashour, A. F and G. Rishi, "Tests of Reinforced Concrete Continuous Deep Beams with Web Openings", ACI Structural Journal, 2000, Vol.97, No.3, PP. 418-426.

ارتفاع ۲۰۰۰ mm و دهانه‌ی خالص ۳۵۰۰ mm داشتند، مشاهده شد: گسیختگی ناشی از ترک‌های قطری جان، شکست خمشی و لهیدگی.

۴- در تیرهایی که در آنها آرماتور مایل جان بکار رفته است به علت مقاومت برشی بالا احتمال شکست خمشی و یا لهیدگی زیاد است. که شکست خمشی فقط در تیرهای عمیق با ابعاد بزرگ (ارتفاع ۲۰۰۰ میلی متر و دهانه‌ی خالص ۳۵۰ mm رخ می‌دهد).

۵- تیرهای دارای آرماتور قائم نسبت به تیرهای دارای آرماتور افقی مقاومت نهایی بیشتری دارند.

۶- محل بازشو تاثیر کمی روی مقاومت نهایی دارد. برای تیرهای گروه اول بیشینه اختلاف ۱۳٪ و برای تیرهای گروه دوم ۷/۳٪ است.

۷- با افزایش ابعاد بازشو مقاومت تیرهای عمیق بتن مسلح دارای بازشو کاهش می‌یابد. بیشینه این کاهش ۴۳٪ و کمینه آن ۱۰٪ است.

۸- به ترتیب بیشترین افزایش مقاومت را چیدمان آرماتور جان مورب، شبکه، قائم و افقی نسبت به حالت بدون آرماتور جان دارند. به گونه‌ای که در تیرهای عمیق کوچک مقاومت چیدمان مورب آرماتور به طور متوسط ۱/۶۷ برابر چیدمان افقی است. و در تیرهای عمیق بزرگ این عدد ۲۰۵ است.

۹- برای جلوگیری از گسترش ترک‌های قطری که در نهایت منجر به شکست می‌شوند، چیدمان آرماتور جان مورب و قائم بسیار موثر هستند.

## - منابع

- [۱] آین نامه بتن ایران «آبَا»، تجدید نظر اول، چاپ ششم، ۱۳۸۲.
- [۲] عربزاده، ابوالفضل؛ «رفتار برشی و خمشی تیرهای عمیق پیوسته بتن مسلح»؛ مجله عمران مدرس، ۱۳۸۱، شماره ۸، صفحه ۲۵-۳۴.